# 三層板有限帯板法を用いた既設鋼鈑桁橋の衝撃応答解析

岩手大学大学院工学研究科 学生会員 ○小綿 貴幸 岩手大学工学部 正会員 正二 出戸 秀明 岩崎 岩手大学工学部 片岡 直樹 (株) 福山コンサルタント 宮村 正会員 正樹

## 1. はじめに

東北地方の道路橋R C床版の損傷は、RC 床版下面の疲労 損傷に加えて床版上面コンクリートの砂利化などの損傷が 同時に進行し、床版全面打ち替えにいたる事例が多く見受 けられる. 道路橋の健全度調査の中に、橋面上に重錘や砂 袋を落下させて衝撃振動波形を計測し、その波形から固有 振動数を求め劣化診断を行う方法がある. 本論文では、そ れらの衝撃振動試験を想定して、劣化した鉄筋コンクリー ト床版(以下、RC 床版)を有する単純鋼鈑桁橋を三層板帯 板要素などでモデル化し、モード解析法を用いて衝撃応答 解析を行う. 本手法を用いて RC 床版劣化部の深さ変化や 剛性変化が、橋全体の固有振動数あるいはR C床版の固有 振動数にどのような影響を与えるか検討する.

### 2. 解析理論1)

鋼桁とRC床版から成る既設鋼鈑桁橋を、いくつかの帯板要素の集合体と考え動的解析を行う.3次元動的弾性論に基づきガラーキン法を用いて三層板帯板要素の運動方程式を誘導する.衝撃応答解析にあたっては、モード解析法を適用する.解析に用いる長さlの三層板帯板要素は、図-1に示すように、x、y、z 方向の節線力を $T_i$ ,  $S_i$ ,  $Q_i$ (i=r,r+1)とし、x 軸周りの節線モーメントを $M_i$ (i=r,r+1)とする.

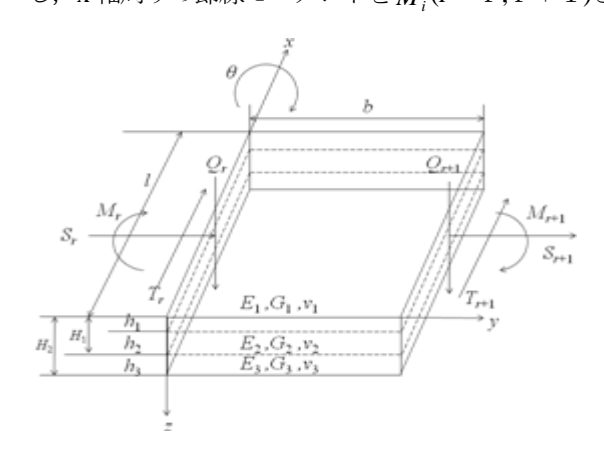


図-1 三層板帯板要素の力

# 3. 解析モデルと解析条件

解析モデルとして3本主桁を有する単純鋼鈑桁橋(支間長:18.17m,幅員:6m,桁高:1.0m)を取り上げ,図-2に示すように鋼桁部分を一層板帯板要素,劣化した部分と健全な部分に分けられるRC床版を二層板帯板要素,主桁上のRC床版は三層板帯板要素によりモデル化した.図中の番号は節線番号を表し,総要素数,総節線数は,それぞれ27要素,28節線となる.RC床版上に打撃力P(本論文では打撃波形は矩形パルス)を与えて,着目点の加速度応答を計算し,得られた加速度応答曲線をFFT解析することにより卓越固有振動数を求めた.RC床版上部の劣化が進展する場合を想定し,二層目のヤング係数を一定とし,一層目のヤング係数を低下させる計算を行った.数値計算に用いた値は以下の通りである.

 $E_2=3.0\times10^6$  KN/m<sup>2</sup>, P=1tf

 $E_1/E_2=1/2$ , 1/5, 1/10, 1/30, 1/50, 1/100, 0

 $v_1, v_2 = 0.167, \rho_1, \rho_2 = 2.448 \text{ KN} \cdot \sec^2/\text{m}^4, v_3 = 0.3,$ 

 $\rho_3 = 8.010 \text{KN} \cdot \text{sec}^2/\text{m}^4$ ,  $h_1/(h_1 + h_2) = 5/18$ ,  $h_1 = 0.05m$ ,  $h_2 = 0.13m$ .

つぎに、ヤング係数比を固定し、一層目と二層目の板厚 比を変化させ劣化が深さ方向に進展していくことを想定し た計算も行った。その場合の数値は、以下の通りである。

 $E_1/E_2=1/5$  ,  $h_1/(h_1+h_2)=1/11,5/18,1/2$ 

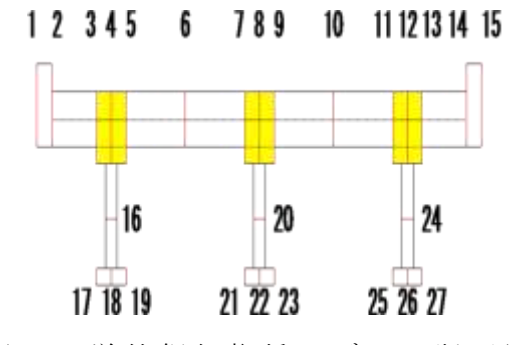


図-2 単純鋼鈑桁橋モデルの断面図

キーワード:三層板有限帯板法 衝撃応答解析 劣化診断

連絡先:〒020-8551 岩手県盛岡市上田 4-3-5 岩手大学工学部 社会環境工学科 TEL.FAX:019-621-6436

### 4. 解析結果と考察

単純鋼鈑桁橋のRC床版が健全である場合を想定し、図-2に示す6節線の支間中央に打撃力Pを与えた計算を行った.打撃点において得られたフーリエスペクトル波形を図-3に示す.0~25Hzまで多くの卓越周波数が見られるが、20Hzと40Hz付近にも大きなピークを確認した.固有解析値と本計算値が一致することが理想であるが、打撃点の加速度波形から得られた本卓越周波数は、打撃時間などの影響を受けて固有解析値とすべて一致しなかった.

次に、図-2 に示す耳桁直上の 4 節線の支間中央に打撃力 P を作用させ計算を行った。解析する着目点は図-3 の場合と変わらず床版中央点の 6 節線である。図-4 に示すように、ピークは  $0\sim5$ Hz の間にピークが見られたが、5 Hz 以降には大きな卓越周波数は認められなかった。ただし、20Hz と 40Hz 付近に小さな卓越が確認出来た。特に、40Hz 付近のピークは床版の局部振動に起因するものと推測できる。

続いて、RC床版上部の劣化が進展する場合を想定し、 二層目のヤング係数を一定とし、一層目のヤング係数 を低下させる計算を行った比較結果を図-5 に示す. また、図-6は、ヤング係数比を固定し、一層目と二層 目の板厚比を変化させ劣化が深さ方向に進展していく 場合の計算結果である. 打撃点および解析着目点は、 いずれも RC 床板の 6 節線の支間中央となっている. 図-5、6 より、RC 床版に材料的劣化と劣化範囲の拡 大が進むと、健全な場合と比べてピークが左に移動す ることがわかった.

### 5. まとめ

本研究により実橋 RC 床版の固有振動数による劣化 診断は、高次の振動モードに着目すればよいことがわ かった. また、衝撃振動試験を実施する前に、本手法 を用いて様々な条件で解析を行うことにより、求めた い固有振動数を励起させる打撃点、打撃条件や計測機 器の設置場所を推定することができるようになった.

#### 参考文献

1) 出戸秀明、岩崎正二、新銀武、丸山泰孝:積雪寒冷 地の塩化物供給を考慮した RC 床版余寿命診断技術の 提案、土木学会編構造工学論文集、Vol.56A、

pp.1227-1238、2010.3

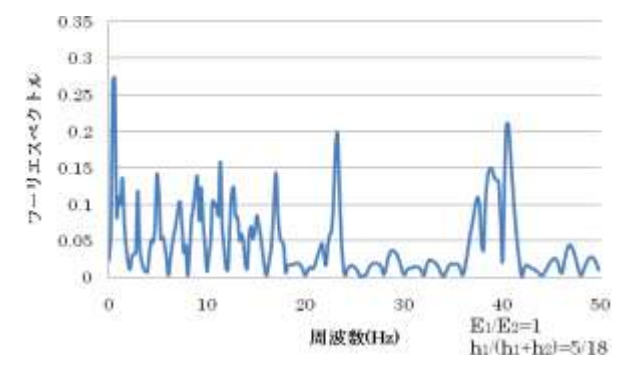


図-3 打撃点,着目点(6 節線)における

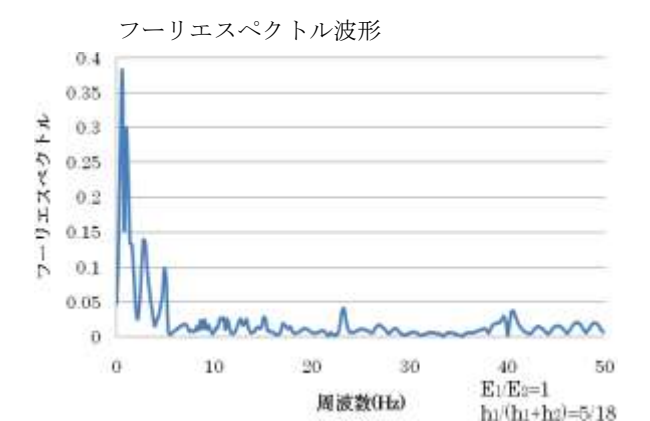


図-4 打撃点(4節線) 着目点(6節線)における フーリエスペクトル波形

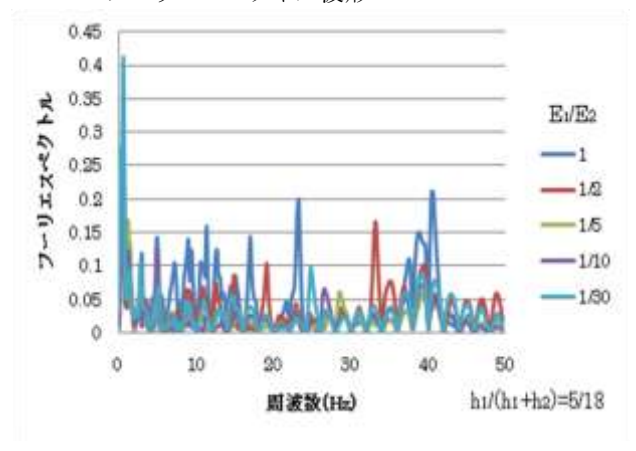


図-5 一層目のヤング係数の変化による着目点(6 節線) のフーリエスペクトル波形の比較

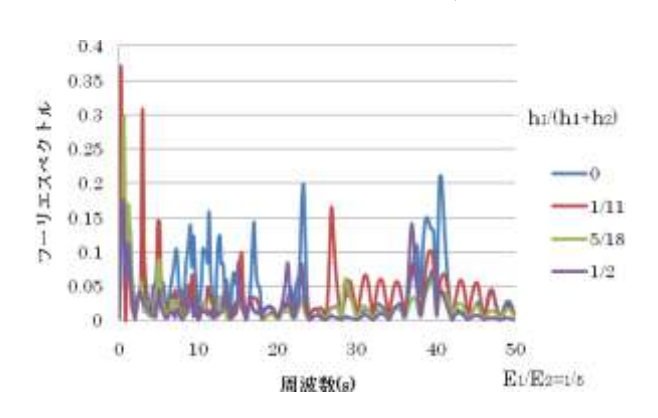


図-6 板厚比の変化による着目点(6 節線) のフーリエスペクトル波形の比較